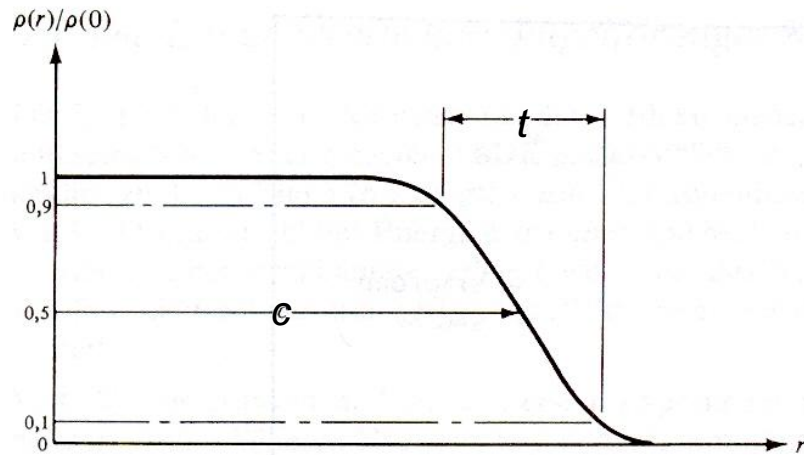


Fig-TP-4.5a

4.2c Ladungsverteilung in Kernen



Ladungsverteilung für Vielzahl von Kernen bestimmt:

- Kerne sind keine „scharfen“ Kugeln sondern Ladungsverteilung fällt zum Rand hin ab
- Radiale Verteilung kann näherungsweise durch 2-parametrische Fermi-Funktion beschrieben werden:

Radius c halber Dichte:

$$c \approx \left(.18 \cdot A^{1/3} - 0.48 \right) \text{ fm}$$

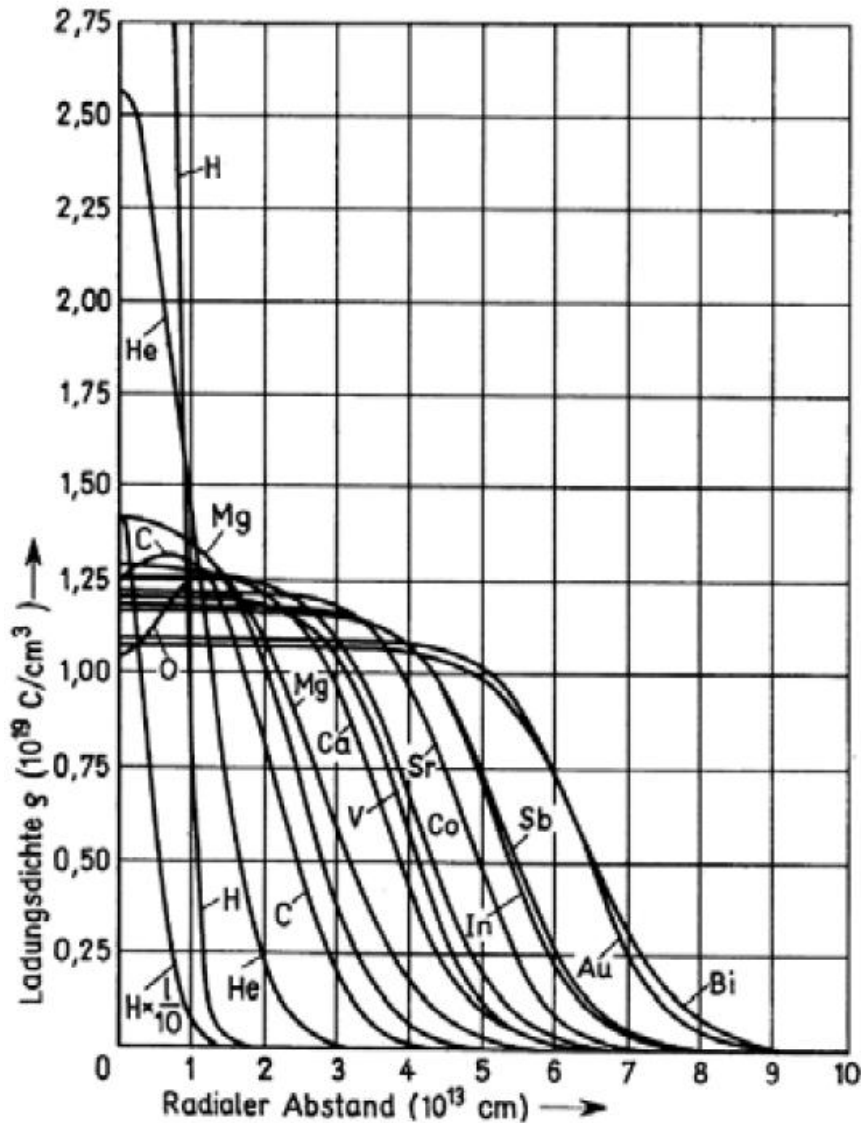
$$a \approx 0.545 \text{ fm}$$

$$\rho(r) = \frac{\rho_0}{1 + e^{(r-c)/a}}$$

Schichtdicke t :

$$t = (4 \ln 3) \cdot a \approx 4.4a \approx 2.4 \text{ fm}$$

für schwere Kerne
unabhängig von A



Die tatsächliche Ladungsverteilung ist komplexer, da Dichte im Inneren aufgrund der Schalenstruktur nicht konstant ist. Die Fermi-Funktion stellt aber eine gute Approximation dar.

Mittlerer quadratischer Kern-Radius

Mit $\langle r^2 \rangle = \int r^2 \rho(r) d^3 r = \int 4\pi r^4 \rho(r) d^3 r$

findet man $\sqrt{\langle r^2 \rangle} \approx 0.94 \cdot A^{1/3} \text{ fm}$

für mittlere
und große A

Oft wird Kern aber als Kugel mit hartem Rand betrachtet. Für einen solchen Kern ist der mittlere quadratische Radius $\langle r^2 \rangle$ gegeben durch:

$$\langle r^2 \rangle_{\text{hart}} = \int_0^R r^2 \rho(r) d^3 r = 4\pi \frac{3}{4\pi R^3} \int_0^R r^4 dr = \frac{3}{5} R^2$$

Dichte
homogener
Kugel

Verlangt man dass der mittlere quadratische Radius der harten Kugel gerade dem mittleren quadratischen Radius der beob. Ladungsverteilung entspricht:

$$\langle r^2 \rangle_{\text{hart}} = \left(0.95 A^{1/3} \text{ fm} \right)^2 \quad \rightarrow \quad R_{\text{hart}} = \frac{5}{3} \cdot 0.95 A^{1/3} \text{ fm} \approx 1.2 A^{1/3} \text{ fm}$$

Bem.: Nukleonendichte im Kern $\rho_N = 0.17 \text{ Nukleonen / fm}^3$

Bestimmung der Proton-Formfaktoren

Experiment

SLAC 1956: R. Hofstadter, R.W. Allis

- a) Mott: Spin $\frac{1}{2}$ Elektron an Spin 0 (Punktförmig):
 $G_E = 1, G_M = 0$
- b) Dirac: Spin $\frac{1}{2}$ Elektronen an Spin $\frac{1}{2}$ Proton (punktf):
 $G_E = 1, G_M = 1$
- c) Wie Dirac aber anomales magn. Moment: $G_E = 1, G_M = 2.79$
- d) Rosenbluth: Punktf Spin $\frac{1}{2}$ Elektronen an ausgedehntem Spin $\frac{1}{2}$ Proton

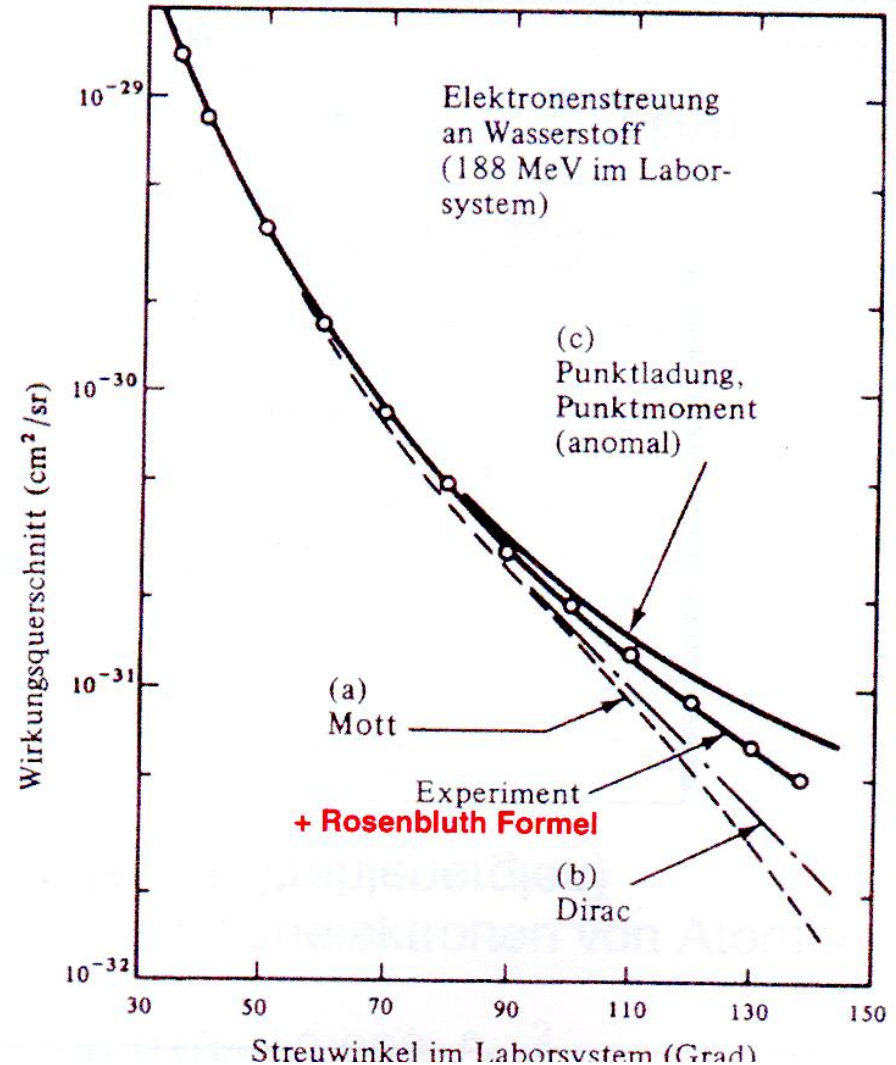


Fig-TP-4.7

Rosenbluth-Diagramm: elektrischer + magnetischer FF

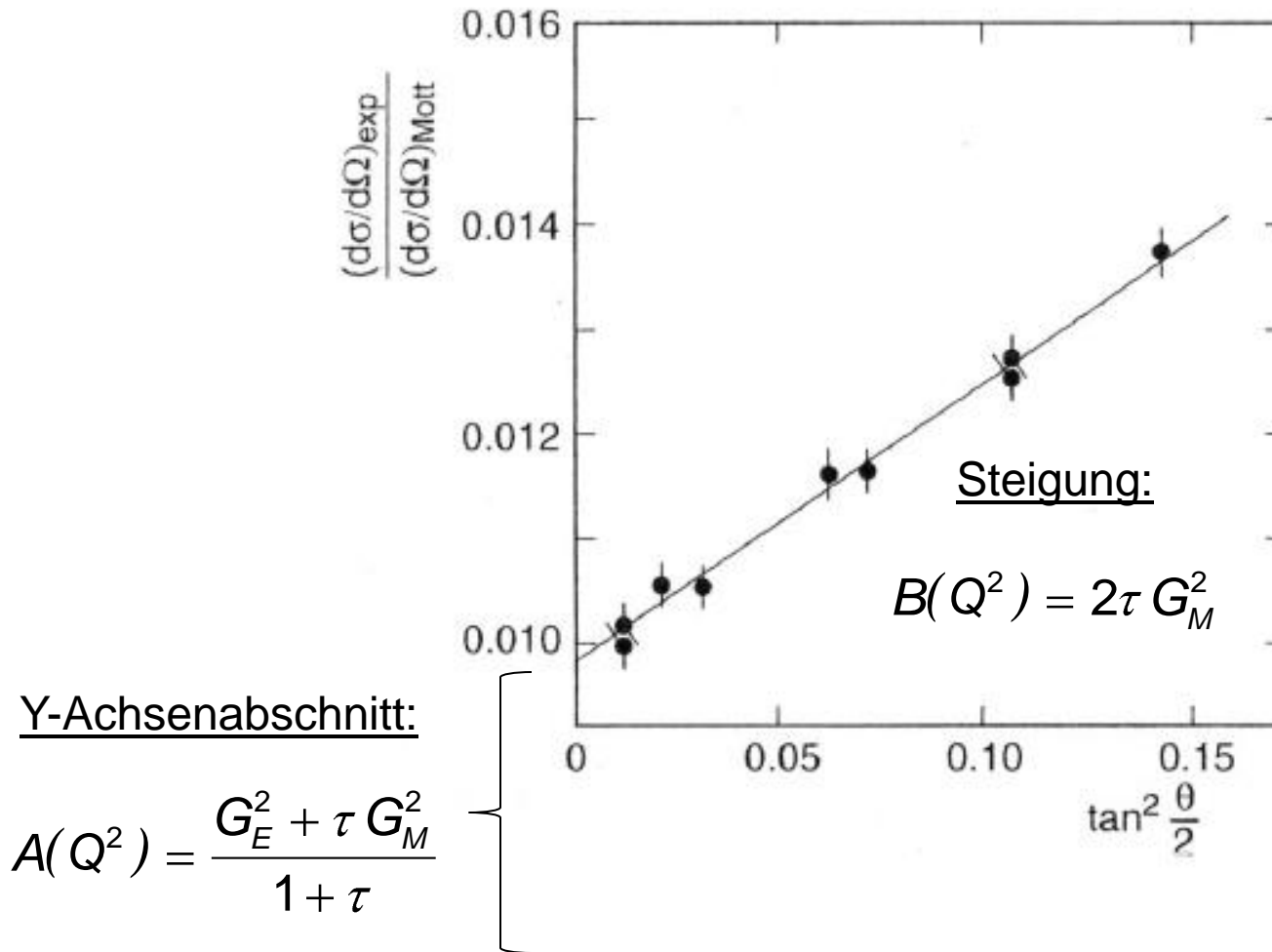


Fig-TP-4.8

Elektrischer und magnetischer Formfaktor

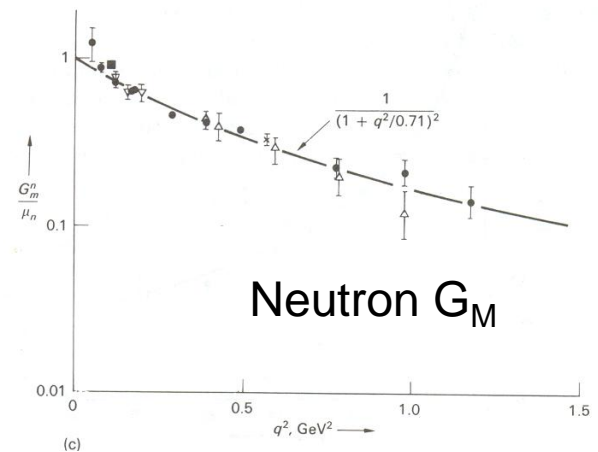
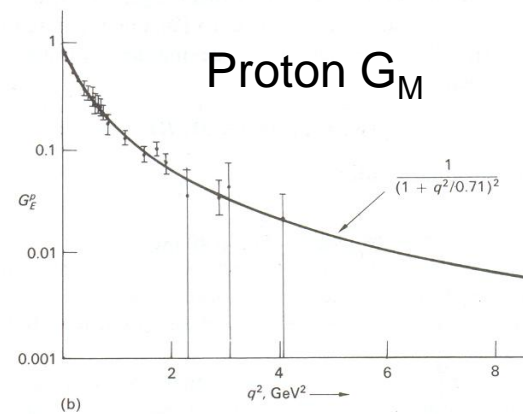
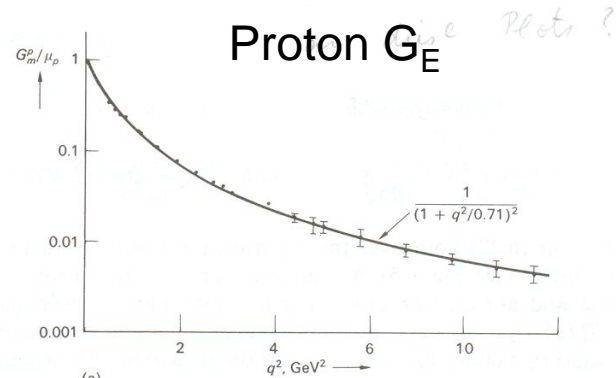
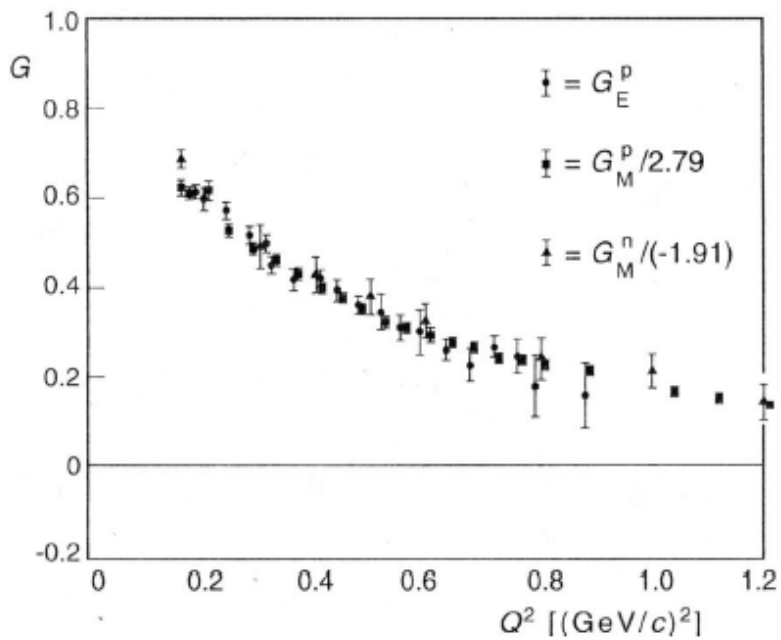
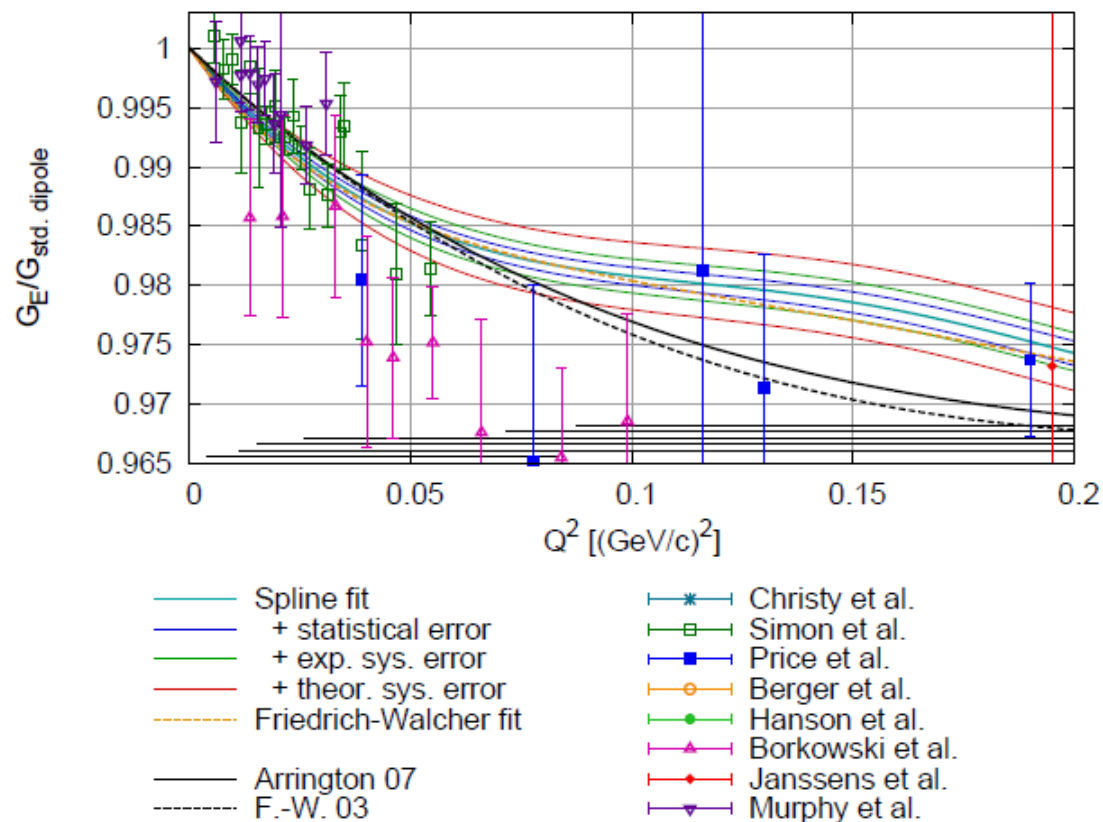


Fig-TP-4.9

Neuere Resultate: G_E

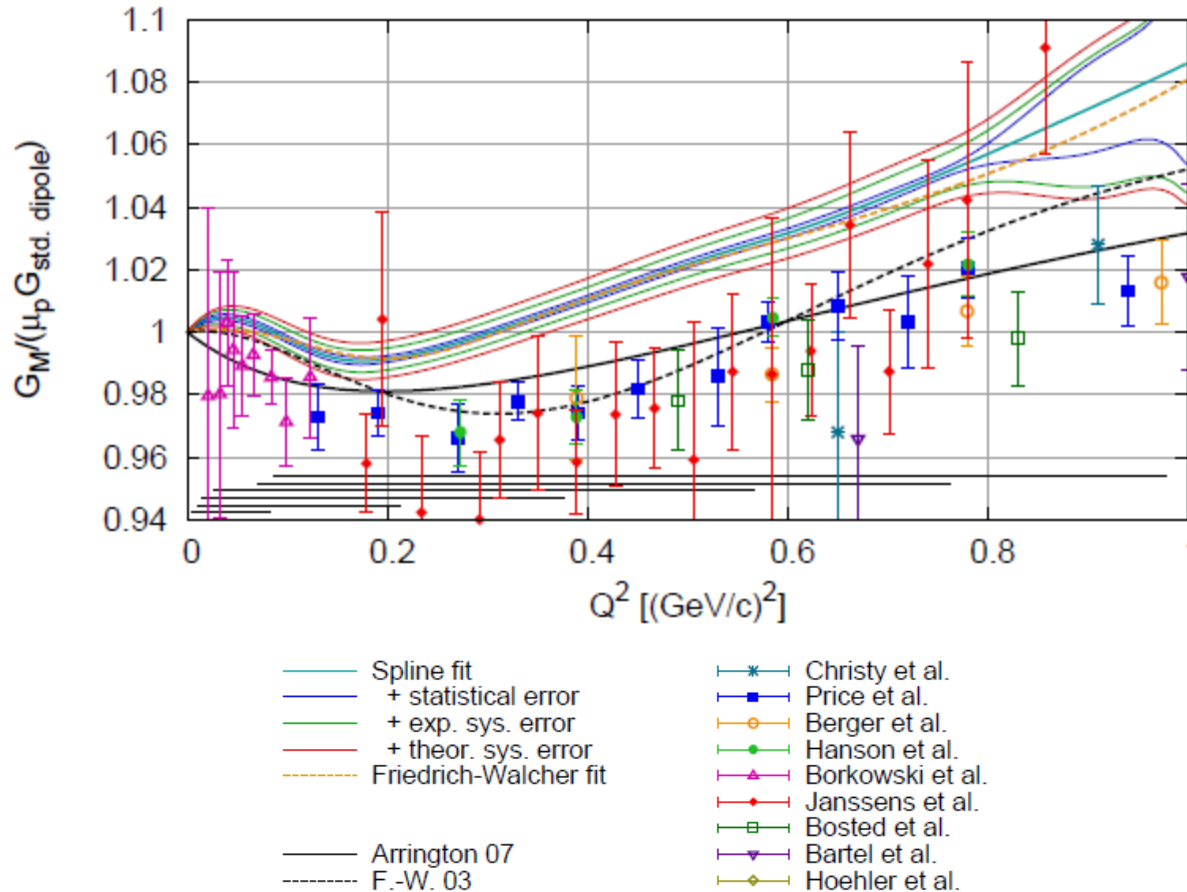
Fig-TP-4.9a



*J.C. Bernauer,
Dissertation,
Mainz 2010*

Figure 9.17: The electric form factor G_E determined with the spline and with the Friedrich-Walcher model in comparison to the previous data. To compress the data range, the form factor is divided by the standard dipole.

Klare Abweichungen von der angenommenen Dipolform bei kleinen Q^2 .



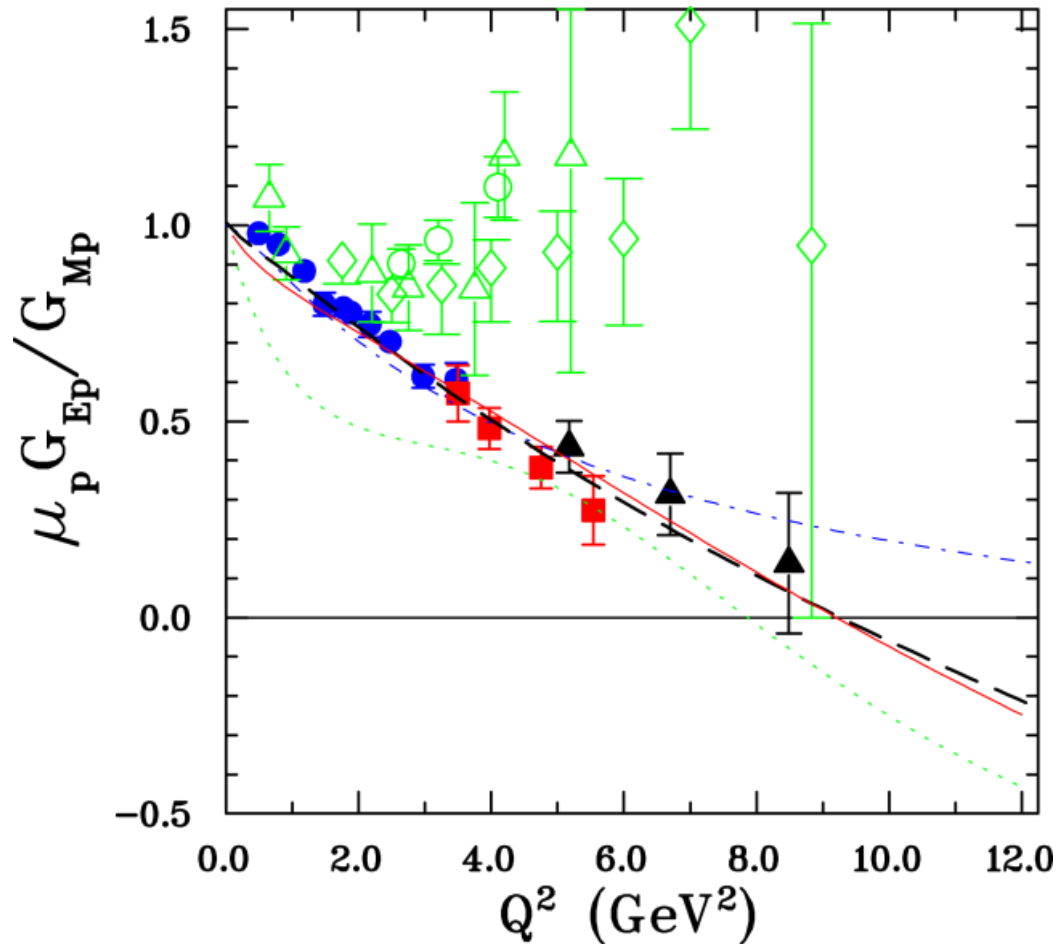
*J.C. Bernauer,
Dissertation,
Mainz 2010*

Figure 9.18: The magnetic form factor G_M determined with the spline and with the Friedrich-Walcher model, normalized to $\mu_p G_{\text{std. dipole}}$, in comparison to previous data.

Klare Abweichungen von der angenommenen Dipolform bei kleinen Q^2 .

Neuere Resultate

Fig-TP-4.9b



Für große Q^2 Abweichungen zwischen elektr. und magn. Formfaktor:
Rosenbluth-Methode und Polarisations-Transfer-Methode.
Grund: 2-Photon-Beitrag